



اولین گزارش از ردیابی و شناسایی بیمارگرهای فیتوپلاسمایی مرتبط با برخی از گیاهان زینتی شهر یزد

مهرداد صالح زاده^{۱*}، علیرضا افشاریفر^۱، سعیده دهقانپور فراشاه^۲

۱. مرکز تحقیقات ویروس شناسی گیاهی، دانشگاه شیراز، شیراز، ایران

۲. گروه کشاورزی، دانشگاه پیام نور، تهران، ایران

✉ mehrdadsalehzadeh@gmail.com

تاریخ دریافت: ۱۴۰۲/۱۰/۲، تاریخ بازنگری: ۱۴۰۲/۱۲/۱۲، تاریخ پذیرش: ۱۴۰۲/۱۲/۱۲

چکیده

در بازدیدهای بهار و تابستان سال ۱۴۰۲ از نمونه‌های گیاهی فضای سبز و گلخانه‌های زینتی و علف‌های هرز همجوار این گیاهان در شهر یزد، نشانه‌های مشکوک به بیماری فیتوپلاسمایی مانند کتابی شدن ساقه، ریزبرگی و زردی مرتبط با گیاهان سنبل‌ختایی، برگ‌نو، لاله عباسی و کنف وحشی دیده شد. از هر گیاه ۵ نمونه جمع‌آوری و به مرکز تحقیقات ویروس‌شناسی گیاهی دانشگاه شیراز منتقل شد. استخراج دی.ان.ای. به روش CTAB انجام شد و واکنش زنجیره‌ای پلی‌مراس با آغازگرهای عمومی (P1 / P7) و آغازگرهای آشیانه‌ای (R16MF2 / R16MR2) فیتوپلاسمها صورت پذیرفت. برابر انتظار در پی.سی.آر. با آغازگرهای عمومی و آشیانه‌ای قطعاتی به ترتیب به اندازه‌ی ۱۸۰۰ و ۱۲۵۰ جفت‌باز تکثیر شد. قطعات حاصل از تکثیر پی.سی.آر. حاصل از آغازگرهای R16MF2 / R16MR2 از ژل برش یافته و بعد از خالص‌سازی جهت تعیین ترادف دوطرفه به شرکت سینووه ارسال شدند. مقایسه توالی‌های به دست آمده با توالی‌های موجود در NCBI توسط نرم‌افزار BLAST نشان داد که فیتوپلاسمای همراه با گیاهان سنبل‌ختایی، برگ‌نو، لاله عباسی و کنف وحشی بیشترین شباهت را به ترتیب با جدایه هندی (MH393563.1; host; *Datura stramonium*; identity: 98.94%)، جدایه ترکیه‌ای (HE649495.1; host; *Ligustrum*)، جدایه اوگاندایی (sp.; identity: 99.24%)، جدایه اوگاندایی (HE649495.1; host; *Hibicus rosae*; identity: 99.14%) و جدایه ایرانی (KX685880.1; host; *Eucalyptus* sp. identity: 98.64%) داشتند. در ادامه درخت تبارزایی برای مقایسه جدایه‌های ایرانی با سایر جدایه‌های مشابه گزارش شده جهان با نرم‌افزار MEGA 8.0 ترسیم گردید. واژه‌های کلیدی: آنالیز تبارزایی، گیاهان زینتی، زردی، علف‌های هرز، فیلودی.

مقدمه

فیتوپلاسمها پروکاریوت‌های بدون دیواره یاخته‌های هستند که توان ساخت مواد مورد نیاز برای تشکیل دیواره یاخته‌ای خود را ندارند. این گروه از موجودات، کوچک‌ترین یاخته‌های آزاد و انگل زنده می‌باشند (قطر ۱۷۵ تا ۲۵۰ نانومتر) و عمدتاً در شیرهای پرورده‌ی یاخته‌های آوندهای آبکش گیاهان آلوده مستقر می‌شوند (Bertaccini et al., 2022). از زمان کشف فیتوپلاسمها بیش از ۸۰۰ بیماری همراه با فیتوپلاسمها در ۴۳۰ گونه گیاهی گزارش شده است. فیتوپلاسمها شدیداً بر



گیاهان چوبی و علفی اثر می‌گذارند. مهمترین خسارت فیتوپلازما روی گیاهان زیتنی خسارت و افت کیفی گیاه می‌باشد. بسیاری از فیتوپلازماها در زمان آلودگی گیاه، اختلالات متنوعی (اغلب هورمونی) ایجاد می‌کنند که با تکامل، رشد و نمو گیاه تداخل دارند. نشانه‌های بارز شامل: فیلودی^۱ (برگ‌سانی اندام‌های زایشی)، وایرسنس^۲ (رنگ‌پذیری بخش‌هایی از گیاه که به‌طور عادی سبز نمی‌باشند)، جاروی جادوگر^۳ (رشد توده‌ی انبوهی از شاخه‌ها از یک نقطه)، تعداد غیرنرمال ریشه‌های موئین ظریف، بازداری از گلدهی، کوتولگی، زوال تدریجی و سبزدی می‌باشد (Hugenholz *et al.*, 2021). مهم‌ترین خسارت فیتوپلازماها روی گیاهان زیتنی بیشتر افت کیفی گیاه می‌باشد (Bertaccini, 2022). همچنین فیتوپلازماها از علف‌های هرز به‌عنوان پل سبز و میزبان حدواسط برای گسترش آلودگی خود استفاده می‌کنند (Mitrović *et al.*, 2022). تاکنون آلودگی به فیتوپلازماها در ۱۶۳ گونه گیاه زیتنی متعلق به ۱۴ خانواده گیاهی (Bertaccini, 2022) و ۱۱۲ گونه علف هرز متعلق به ۱۸ خانواده شناسایی شده است (Mitrović *et al.*, 2022). از گیاهان زیتنی مهم که در ایران از آنها عوامل فیتوپلازمایی گزارش شده است شامل همیشه‌بهار^۴ (Esmailzadeh Hosseini *et al.*, 2014)، سلوسیپا^۵، استبرق^۶، لیمونیوم^۷، گل‌جعفری^۸ (Aldagh & Bertaccini, 2015)، آفتابگردان^۹، شب‌بوی خیری^{۱۰} (Tazehkand *et al.*, 2010)، گل قاصد^{۱۱}، اطلسی^{۱۲} (Hemmati *et al.*, 2019)، شمعدانی^{۱۳} (Amirmijani *et al.*, 2020)، پرپوش^{۱۴}، کاج افغانی^{۱۵} (Movahedi-Parizi *et al.*, 2023) و نرگس شیراز^{۱۶} (Gholami *et al.*, 2018) می‌باشد. همچنین، در چند سال اخیر نشانه‌های مشکوک به بیماری‌های فیتوپلازمایی روی درختان، درختچه‌ها و گیاهان زیتنی در فضای سبز و گیاهان زیتنی مناطق مختلف کشور به‌ویژه جنوب ایران در حال گسترش است. برای شناسایی دقیق عوامل ایجاد کننده این نشانه‌ها و تفکیک آنها از نشانه‌های بیماری‌هایی که توسط ویروس‌ها و یا کمبودهای مواد غذایی به وجود می‌آیند، لازم بود تا با استفاده از روش‌های قابل اعتماد نسبت به تشخیص احتمال وقوع عوامل فیتوپلازمایی موجود در این گیاهان اقدام شود. در این پژوهش با استفاده از روش‌های مبتنی بر پی.سی.آر. نسبت به تعیین فیتوپلازماهای عامل ایجاد بیماری در گیاهان زیتنی برگ نو، لاله عباسی، سنبل ختائی و کنف وحشی در منطقه یزد استفاده شد و بعد از انجام پی.سی.آر. تعیین توالی نوکلئوتیدی، شناسایی گونه و تبارشناسی عوامل فیتوپلازمایی آلوده‌کننده انجام گرفت.

مواد و روش‌ها

نمونه‌برداری

طی بازدید از فضای سبز شهر یزد در بهار و تابستان ۱۴۰۲ از برخی گیاهان زیتنی این مناطق و علف‌های هرز مجاور آن‌ها شامل برگ‌نو^{۱۸}، سنبل‌ختایی^{۱۹}، لاله‌عباسی^{۲۰} و کنف‌وحشی^{۲۱} با نشانه‌های مشکوک آلودگی به فیتوپلازما مانند زردی، کتابی شدن ساقه، جاروک، تورم غنچه و فیلودی، نمونه‌برداری انجام شد. نمونه‌ها داخل کیسه‌های پلاستیکی مجزا روی یخ و

۱- Phyllody	۲- Virescence	۳- Witches broome	۴- <i>Ligustrum vulgare</i>	۵- <i>Calendula officinalis</i>
۶- <i>Celosia argentea</i>	۷- <i>Calotropis procera</i>	۸- <i>Limonium spp.</i>	۹- <i>Tagetes erecta</i>	۱۰- <i>Helianthus annuus</i>
۱۱- <i>Erysimum cheiri</i>	۱۲- <i>Taraxacum officinale</i>	۱۳- <i>Petunia hybrida</i>	۱۴- <i>Pelargonum graveolen</i>	
۱۵- <i>Catharanthus roseus</i>	۱۶- <i>Pinus Geradiana</i>	۱۷- <i>Narcissus tazetta</i>	۱۸- <i>Ligustrum ovalifolium</i>	
۱۹- <i>Angelica archangelica</i>	۲۰- <i>Mirabilis jalapa</i>	۲۱- <i>Hibiscus cannabinus</i>		



در طی چند ساعت به مرکز تحقیقات ویروس‌شناسی گیاهی دانشکده کشاورزی دانشگاه شیراز منتقل شدند. از گیاهان به ظاهر سالم و بدون نشانه‌های مذکور در همان مناطق نیز به‌عنوان شاهد برای آزمایش‌های مولکولی نمونه‌برداری شد. در شرایط آزمایشگاهی رگبرگ‌های اصلی و گاهی برگ‌های کوچک انتهایی از نمونه‌ها جدا شده و برای استخراج دی. ان. ای استفاده شدند.

استخراج DNA از نمونه‌ها

در این روش مقدار ۰/۲ گرم بافت برگ درون لوله‌های اپندورف ۱/۵ میلی‌لیتری با استفاده از ازت مایع به صورت پودر در آمد و مقدار ۷۰۰ میکرولیتر بافر CTAB (CTAB 2.5%, 1.4 M NaCl, 20 mM EDTA pH 8.0, 100 mM Tris-HCl pH) به بافت مورد نظر اضافه گردید و سپس به مدت ۰/۵ ساعت در دمای ۶۵°C قرار گرفت و هر از چند دقیقه لوله‌ها بهم زده شدند. سپس ۶۰۰ میکرولیتر محلول کلروفرم- ایزوآمیل الکل (به نسبت ۲۴:۱) به عصاره افزوده گردید و پس از ۵ دقیقه در ۱۳۰۰۰ دور در دقیقه به مدت ۸ دقیقه سانتریفوژ شدند. روشن‌نشین تشکیل شده به تیوپ جدیدی منتقل شد و هم حجم آن ایزوپروپانول اضافه شد و به مدت ۱۰ دقیقه با ۱۳۰۰۰ دور در دقیقه سانتریفوژ شدند. بعد از حذف ایزوپروپانول، رسوب دی‌ان‌ا با ۳۰۰ میکرولیتر اتانول ۷۰٪ شستشو و مطابق قبل سانتریفوژ شد و سپس در دستگاه تغلیظ کننده (concentrator) خشک شد و در ۵۰ میکرولیتر آب مقطر سترون حل شد (Gawel & Jarret, 1991).

واکنش زنجیره‌ای پلی‌مراز^۱

واکنش زنجیره‌ای پلی‌مراز (PCR) در حجم نهایی ۲۵ میکرولیتر در دستگاه ترموسایکلر (شرکت Techne با مدل FTGENE2D) انجام شد. واکنش در یک حجم ۲۵ میکرولیتری (10 mM dNTPs (0.5 μl), 10 μM Virion-sense strand primer (1 μl), 10 μM Complementary-sense strand primer (1 μl), 10x buffer (2.5 μl), MgCl₂ 50 Mm (0.75 μl), Taq DNA polymerase 5 U/μl (0.25 μl), DNA template (1 μl) and Deionized water (up to 25 μl)) و مطابق با برنامه ذکر شده در جدول یک انجام شد.

آغازگرهای مورد استفاده در PCR

آغازگرهای مورد استفاده در PCR در این پژوهش از شرکت Metabion international AG کره‌جنوبی تهیه شدند. توالی مربوط به آغازگرهای اولیه شامل: P1: Forward (Deng & Hiruki 1991) و P7: Reverse (Schneider *et al.* 1995) به ترتیب 3' AAGAGTTTGATCCTGGCTCAGGATT 5' و 5' CGT CCT TCA TCG GCT CTT 3' و توالی مربوط به آغازگرهای آشیانه‌ای (PCR Nested) شامل R16F2n: Forward و R16R2: Reverse (Lee *et al.* 1995) به ترتیب 5' GAAACGACTGCTAAGACTGG3' و 5' TGACGGGCGGTGTGTACAAACCCCG3' بود که انتظار میرفت به ترتیب قطعاتی به طول ۱۸۰۰ و ۱۲۵۰ جفت باز تکثیر یابند.

جدول ۱- برنامه دمایی واکنش PCR.



Table 1- PCR reaction temperature schedule.

مرحله واکنش	تعداد دوره	دما (درجه سلسیوس)	زمان (دقیقه)
Reaction stage	Number of cycles	Temperature (degrees Celsius)	Time (min)
Initial denaturation	1	94	3-5
Denaturation	30	94	1
Annealing		58	2
Extension		72	3
Final extension	1	72	10

انجام الکتروفورز و خالص سازی محصول PCR

یک گرم آگاروز در ۱۰۰ میلی لیتر بافر TBE حل و به مدت چند دقیقه جوشانده شد. پس از رسیدن دما به ۶۰ درجه سلسیوس جهت رنگ آمیزی ژل، ۶ میکرولیتر اتیدیوم بروماید (۵۰ $\mu\text{g/mL}$) اضافه شد. ۵ میکرولیتر از محصول PCR با ۵ میکرولیتر رنگ کرزول رد (۱۰ میلی مولار کرزول رد حاوی ۱۰ درصد سوکرز) مخلوط و در چاهک‌ها ریخته شد. پس از قرار دادن محفظه الکتروفورز، ولتاژ دستگاه در ۹۸ ولت تنظیم و به مدت ۴۵ دقیقه الکتروفورز شد. پس از پایان زمان مذکور، ژل بر روی صفحه UV transilluminator مورد بررسی قرار گرفت و با استفاده از دستگاه gel documentation از آن عکس‌برداری شد. در ژل الکتروفورز، مارکر مولکولی Gen Ruler TM DNA Ladder Mix (Fermentas) مورد استفاده قرار گرفت. قطعه تکثیر یافته مورد نظر با استفاده از کیت استخراج از ژل (QIAGEN) و طبق دستورالعمل شرکت سازنده خالص سازی شد.

تعیین ترادف نوکلئوتیدی

برای تعیین ترادف نوکلئوتیدی، قطعات تکثیرشدهی مورد نظر در PCR حاوی قطعات ۱۲۵۰ جفت‌بازی مورد نظر به شرکت سینوهه شیراز برای ترادف‌یابی ۲ طرفه ارسال گردید. برای بررسی مقدار تشابه دی.ان.ای. تعیین ترادف شده با توالی‌های موجود، ترادف‌های به‌دست آمده در پایگاه اطلاعاتی NCBI با برنامه BLAST با ترادف‌های موجود در GenBank مقایسه شد.

بررسی ترادف‌ها و ترسیم درخت تبارنما

با استفاده از نرم‌افزار Clustal X هم‌ردیف‌سازی ترادف‌های نوکلئوتیدی حاصل با ترادف نوکلئوتیدی جدایه‌های موجود در GenBank مورد مقایسه قرار گرفت و درصد تشابه آن‌ها با نرم‌افزار Megalign تعیین شد. درخت تبارنمای مربوطه توسط نرم‌افزار MEGA 8.0 ترسیم شد و مورد تجزیه و تحلیل قرار گرفت.

بررسی احتمال آلودگی مخلوط فایتوپلاسماها با برخی از ویروس‌های مهم گیاهی

برای بررسی احتمال آلودگی مخلوط نمونه‌ها با ویروس‌های متعلق به خانواده‌های مهم ویروسی و احتمال ناشی شدن نشانه‌ها، به ویژه نشانه‌های زردی توسط ویروس‌ها، از آغازگرهای دژنره‌ی پوتی‌ویروس‌ها: Nib1 و Nib3R (Gibbs & Mackenzie, 1997)، آغازگرهای دژنره‌ی بگوموویروس‌ها: B^C primer (Deng et al., 1994) و primer181^V (Rojas et al.,)

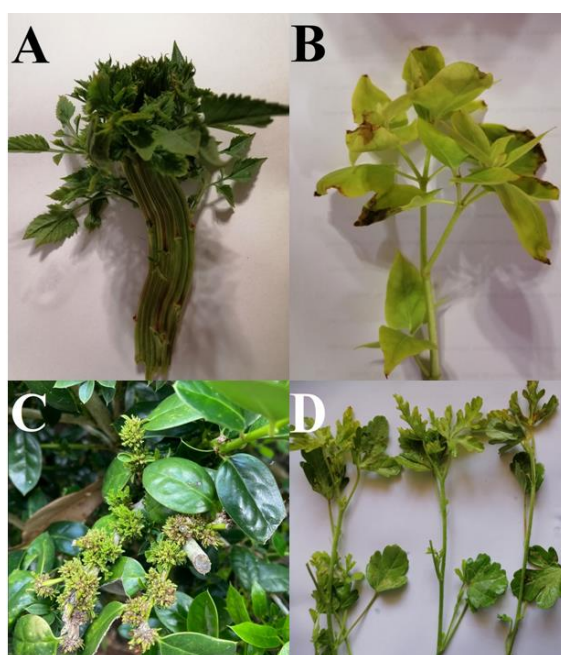


(1993)، آغازگرهای عمومی توپاموویروسها: TobamodF و TobamodR (Li et al., 2018) و آغازگرهای اختصاصی ویروس موزاییک خیار: CMVCP-F/CMVCP-R (Rizos et al., 1992) استفاده شد.

نتایج و بحث

خصوصیات فنوتیپی نمونه‌های جمع‌آوری شده از فضای سبز شهر یزد

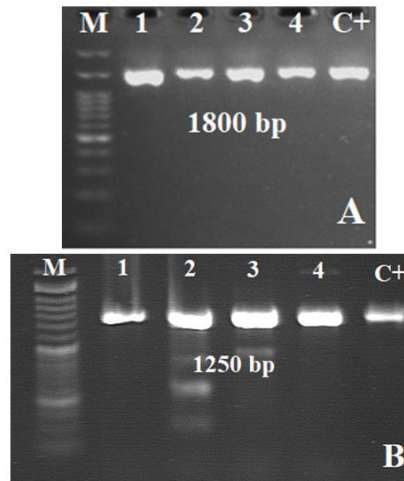
در بازدیدهایی که در طی بهار و تابستان ۱۴۰۲ از فضای سبز شهر یزد صورت گرفت، نشانه‌های تیپیک بیمارهای ناشی از فیتوپلازما شامل کتابی شدن، زردی، کوچک شدن برگ و فیلودی در بوته‌های سنبل ختایی، گل عباسی، کف وحشی و برگ نو مشاهده شد. این نشانه‌ها از اواسط بهار شروع و به تدریج در اواخر دوره‌ی تابستان شدت نشانه‌ها افزایش یافته و تشدید می‌شدند (شکل ۱).



شکل ۱- A: نشانه‌های فیلودی و کتابی شدن ساقه در سنبل ختایی. B- نشانه‌های زردی در لاله عباسی. C- نشانه‌های پررشدی و ریزبرگی در برگ نو. D- نشانه‌های زردی در کف وحشی.

Figure 1- A- Symptoms of phyllodes and stem flattening in *Angelica archangelica*. B- yellowing symptoms in *Mirabilis jalapa*. C- signs of proliferation and phyllody in *Ligustrum* sp. D- yellowing symptoms in *Hibiscus cannabinus*.

شناسایی و تعیین ترادف نوکلئوتیدی بخشی از ژنوم تعیین ترادف شده ۱۲۵۰ جفت‌بازی در واکنش پی.سی.آر در واکنش PCR، با استفاده از یک جفت آغازگر عمومی فیتوپلازماها (P1 / P7) و آغازگرهای آشیانه‌ای (R16MF2 / R16MR2) قطعاتی به ترتیب به اندازه‌ی ۱۸۰۰ و ۱۲۵۰ جفت‌باز تکثیر شدند (شکل ۲)



شکل ۲- نقوش الکتروفورزی مربوط به قطعه تکثیرشده بخشی از ژنوم فیتوپلازما با جفت آغازگرهای عمومی P1/P7 (شکل A-۱۸۵۰ جفت باز) و آغازگرهای آشیانه‌ای R16MF2 / R16MR2 (شکل B-۱۲۵۰ جفت باز) منطبق بر ژن 16S rDNA. چاهک‌های شماره ۱ تا ۴ به ترتیب مرتبط با گیاهان آلوده سنبل ختایی، برگ‌نو، لاله عباسی و کنف وحشی و چاهک ۵ نمونه‌ی کنترل مثبت اخذ شده از گیاهان پروانش آلوده به فیتوپلازمای کنجد از مرکز تحقیقات ویروس‌شناسی گیاهی دانشگاه شیراز. M: DNA Ladder Mix (Fermentas).

Figure 2- Electrophoretic patterns related to the amplified fragment of a part of the phytoplasma genome with a pair of general primers P1/P7 (Figure: A1850 bp) and nested primers R16MF2 / R16MR2 (Figure: B1250 bp) corresponding to the 16S rDNA gene. Wells No. 1 to 4 are respectively related to infected plants of *Angelica archangelica*, *Ligustrum* sp., *Mirabilis jalapa* and *Hibiscus cannabinus*, and Well 5 is a positive control sample obtained from *Vinca* plants infected with *Sesame* Phytoplasma from Plant Virology Research Center, Shiraz university. M: DNA Ladder Mix (Fermentas).

تعیین جایگاه تاکسونومیکی جدایه‌های ایرانی فیتوپلازمای همراه با گیاهان سنبل‌ختایی، برگ‌نو، کنف‌وحشی و لاله عباسی بر اساس مترادف بخشی از ژن 16S rDNA

ترادف نوکلئوتیدی بخشی از ژنوم 16S rDNA فیتوپلازمای همراه با گیاهان سنبل‌ختایی، برگ‌نو، کنف‌وحشی و گل‌عباسی با سایر جدایه‌ها از نقاط و میزبان‌های مختلف که ژنوم آن‌ها تعیین ترادف شده و اطلاعات آن‌ها در بانک اطلاعاتی Genbank موجود است مورد مقایسه قرار گرفت. درخت تبارنمای ترسیم شده به روش Maximum Parsimony نشان داد که جدایه‌های مورد مطالعه در خوشه‌های مختلف مربوط به فیتوپلازمای آلوده‌کننده گیاهان قرار می‌گیرند (شکل ۳). مقایسه توالی‌های به دست آمده با توالی‌های موجود در NCBI توسط نرم‌افزار BLAST نشان داد که فیتوپلازمای همراه با گیاهان سنبل‌ختایی، برگ‌نو، گل‌عباسی و کنف‌وحشی بیشترین شباهت را به ترتیب با جدایه‌ی هندی (*Datura* MH393563.1; host; *Datura* HE649495.1; host; *Ligustrum* sp.; identity: 99.24%)، جدایه‌ی *(stramonium; identity: 98.94%)*، جدایه‌ی ترکیه (*Hibicus rosae*; HE649495.1; host; *Hibicus rosae*; identity: 99.14%) و جدایه‌ی ایرانی (*Eucalyptus* sp. KX685880.1; host; *Eucalyptus* sp. identity: 98.64%) دارند. برای شناسایی زیرگروه‌های مورد نظر، با مقایسه توالی‌های ردیابی شده فیتوپلازمای همراه با سنبل‌ختایی، برگ‌نو، گل‌عباسی و کنف‌وحشی در سایت آنلاین PCR-RFLP مشخص گردید که مشابه با توالی‌های نزدیک به زیرگروه 16S rHI می‌باشند.

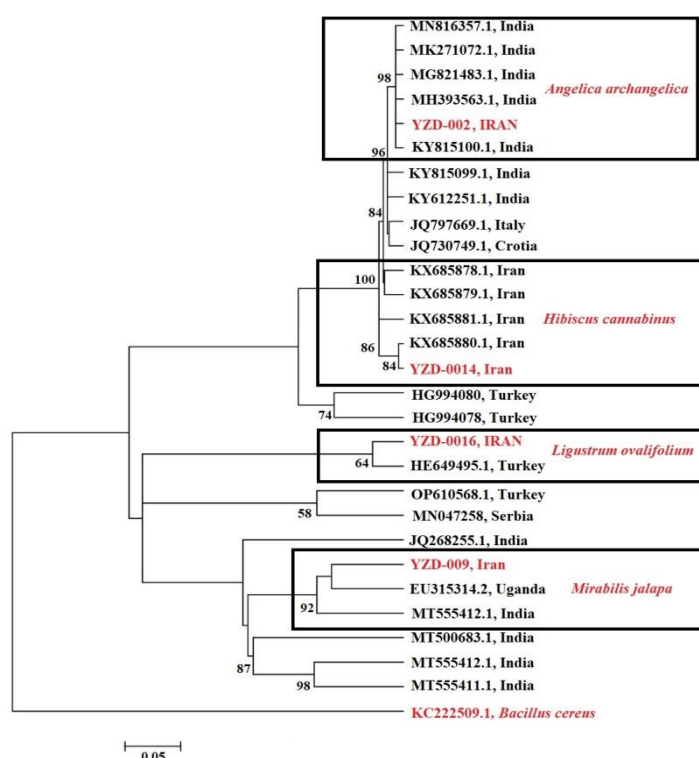
جدول ۲- اطلاعات موجود مربوط به توالی نوکلئوتیدی بخشی از ژنوم 16S rDNA گونه‌های مورد استفاده در ترسیم درخت تبارنما شامل: نام گونه، نام جدایه، رشممار مربوطه، میزبان و نام کشوری که گونه‌ها از آن گزارش شده است. و تعیین جایگاه جدایه‌های مورد بررسی در این پژوهش در بین گونه‌های مشابه گزارش شده از مناطق مختلف دنیا.

Table 2- The available information related to the nucleotide sequence of a part of the 16S rDNA genome of the species used in drawing the phylogenetic tree, including species name, isolate name, relevant census, host, and country name from which the species was reported. and determining the position of the isolates investigated in this research among similar species reported from different regions of the world.

نام گونه species name	نام جدایه Isolates name	رشممار Accession number	نام کشور گزارش شده The name of the reported country	میزبان Host
<i>Candidatus</i> Phytoplasma trifolii	HSD1	MN861357	India	<i>Helichrysum sp.</i>
<i>Manilkara zapota'</i> flat stem little leaf phytoplasma	Unknown	MK271072	India	<i>Manilkara zapota</i>
<i>Hyptis suaveolens'</i> phytoplasma	Biswanath (Assam)	MG821483	India	<i>Mesosphaerum suaveolens</i>
<i>Datura stramonium'</i> witches'-broom phytoplasma	Gorakhpur	MH393563	India	<i>Datura stramonium</i>
<i>Candidatus</i> Phytoplasma trifolii	Orissa	KY815100	India	<i>Solanum tuberosum</i>
<i>Candidatus</i> Phytoplasma trifolii	Orissa	KY815099	India	<i>Solanum tuberosum</i>
Chilli witches'- broom phytoplasma	IARI	KY612251	India	<i>Capsicum annuum</i>
<i>Candidatus</i> Phytoplasma solani	SB1	JQ730749	Croatia	<i>Vitis vinifera</i>
<i>Candidatus</i> Phytoplasma solani	EC-KH-Dezfol	KX685881	Iran	<i>Eucalyptus sp.</i>
<i>Candidatus</i> Phytoplasma solani	EC-FA-Mamasani	KX685880	Iran	<i>Eucalyptus sp.</i>
<i>Candidatus</i> Phytoplasma solani	EC-FA-Kazeron	KX685879	Iran	<i>Eucalyptus sp.</i>
<i>Candidatus</i> Phytoplasma solani	BN-Fc6	JQ797669	Italy	<i>Vitis vinifera</i>
<i>Ligustrum ovalifolium'</i> phytoplasma	Fe2	HE649495	Turkey	<i>Ligustrum sp.</i>
<i>Juniperus excelsa'</i> phytoplasma	Jnp-Tr-K1	OP610568	Turkey	<i>Juniperus excelsa</i>
<i>Ligustrum ovalifolium'</i> phytoplasma	F2\57	HG994080	Turkey	<i>Zea mays</i>
<i>Ligustrum ovalifolium'</i> phytoplasma	F2\51	HG994078.1	Turkey	<i>Zea mays</i>
<i>Ligustrum ovalifolium'</i> phytoplasma	F1\4	HG994077.1	Turkey	<i>Zea mays</i>



<i>Mirabilis jalapa</i> ' little leaf phytoplasma Candidatus	4OC	JQ268255.1	India	<i>Mirabilis jalapa</i>
Phytoplasma aurantifolia Candidatus	Kawanda	EU315314.2	Uganda	<i>Hibiscus rosa- sinensis</i> L.
Phytoplasma aurantifolia Candidatus	CB01	MT555412.1	India	<i>Croton bonplandianus</i>
Phytoplasma aurantifolia Candidatus	SYDP1	MT555411.1	India	<i>Croton bonplandianus</i>
Exitianus indicus' phytoplasma	CLY1	MT500683.1	India	<i>Exitianus indicus</i>



شکل ۳- درخت تبارزایی رابطه فیتوپلاسمای جداپه‌های ایرانی با سایر فیتوپلاسماهای مختلف بر اساس ترادف نوکلئوتیدی بخشی از ژنوم 16S rDNA. هم‌ردیف‌سازی ترادف نوکلئوتیدی با استفاده از Clustal X و دندروگرام به روش Maximum Parsimony نرم‌افزار MEGA 8.0 ترسیم شده است. بخشی از توالی ژنوم *Bacillus subtilis* 16S rDNA به‌عنوان outgroup در نظر گرفته شده است. اعداد واقع شده در شاخه‌های درخت بیانگر Bootstrap بوده و میزان قابل اعتماد بودن این دندروگرام را نشان می‌دهد. اسامی کامل فیتوپلاسمها در جدول ۲ آورده شده است.

Figure 3- Pedigree tree showing the relationship of phytoplasmas of Iranian isolates with other different phytoplasmas based on the nucleotide synonymy of a part of the 16S rDNA genome. Nucleotide synonym alignment was drawn using Clustal X and dendrogram by Maximum Parsimony method of MEGA 8.0 software. A part of the 16S rDNA genome sequence of *Bacillus subtilis* is considered an outgroup. The numbers located in the branches of the tree represent Bootstrap and show the reliability of this dendrogram. Full names of phytoplasmas are given in Table 2.

از آن جایی که کنترل بیماری‌های فیتوپلاسمایی بسیار مشکل است این گروه از عوامل بیماری‌زای می‌توانند معضلات جدی را در گلخانه‌های گیاهان زینتی و فضای سبز ایجاد نمایند و منجر به افت شدید کیفی و زیبایی این نوع گیاهان گردند. تاکنون گزارش‌های متعددی از آلودگی گیاهان زینتی و فضای شهری به فیتوپلاسمها گزارش شده است. در یک پژوهش بیماری‌های فیتوپلاسمایی همراه با جاروک یونجه^۱، گلسانی همیشه‌بهار^۲ و کتابی شدن تاج‌خروس^۳ از فضای سبز شهری در استان خوزستان ردیابی و شناسایی شد. در ادامه بررسی ویژگی‌های مولکولی جدایه‌ها نشان داد که فیتوپلاسمای همراه با این بیماری در محل‌های نمونه‌برداری، از اعضای گروه SrII-D16 می‌باشند (Babaei et al., 2007). در یک بررسی دیگر همراهی یک فیتوپلاسمای از جنس *Candidatus Phytoplasma australiense* روی میزبان‌های زینتی شامل، اکالیپتوس^۴، آکاسیا برگ بیدی^۵ و شیشه‌شور^۶ برای اولین بار از ایران گزارش شد (Nikooei et al., 2017). در بازدیدهای به‌عمل آمده از فضای سبز شیراز از دو گونه گیاه زینتی آلترنانترا با نام‌های علمی *Alternanthera ficoidea* و *A. repens* نمونه‌برداری صورت گرفت. نشانه‌های مشترک در هر دو نمونه، زردی برگ‌ها بود. در گونه‌ی *Alternanthera ficoidea* قاشقی شدن برگ‌ها و در گونه‌ی *A. repens* چروکیدگی برگ‌ها به‌صورت نشانه‌های اختصاصی مشاهده شد (Tazehkand et al., 2010). از گیاهان زینتی مربوط به خانواده تاج‌خروسیان و تیره‌ی گل مینا طیف وسیعی از فیتوپلاسمها از گروه SrII6 گزارش شده است (Tazehkand et al., 2010). رشد متراکم بوته، گوشتی بودن ساقه و ظریف بودن برگ‌های گیاهان خانواده گل مینا و تاج‌خروسیان احتمالاً در رفتار تغذیه‌ای ناقلان احتمالی موثر است. در بازدیدهای به‌عمل آمده نیز رشد انگل سس^۷ به‌صورت گسترده روی این گیاهان مشاهده شده است. انگل سس می‌تواند پل زیستی بین گیاهان آلوده و سالم باشد و احتمالاً بیمارگر را به پاجوش درختچه‌های مجاور منتقل کند (Amirmijani et al., 2020). در گزارشی از وقوع بیماری فیتوپلاسمایی همراه با گل همیشه‌بهار در استان خراسان رضوی نشانه‌هایی نظیر ریزبرگی، زردی، برگ‌شدن اجزای گل، رشد جوانه‌های جانبی ساقه، سبز شدن گلبرگ‌ها، رشد جوانه‌های داخل گل و عقیمی، جارویی شدن و توقف رشد در برخی از بوته‌های گل همیشه‌بهار مشاهده شد. الگوی RFLP مجازی نیز با استفاده از *iPhy Classifier* نشان داد که گلسانی همیشه‌بهار در این استان متعلق به گروه Sr VII16 و زیرگروه A می‌باشد (Ashnaei & Jamshidi, 2018). بررسی‌ها بر روی گل همیشه‌بهار را با نشانه‌های گلسانی از باغ گیاه‌شناسی استان یزد جمع‌آوری کردند و تعلق عامل فیتوپلاسمایی گلسانی گل همیشه‌بهار را به گروه (۱۶SrII) *Ca. Phytoplasma aurantifolia* ثابت کرد (Esmailzadeh et al., 2011). بر اساس یک گزارش دیگر از ایران زیرگروه فیتوپلاسمای عامل گلسانی گل همیشه‌بهار گروه جاروک بادام‌زمینی (۱۶SrII-D) معرفی شد. با توجه به وقوع جاروک یونجه در ایران، احتمالاً یونجه‌های آلوده نقش مهمی در وقوع همه‌گیری گلسانی گل همیشه‌بهار بازی می‌کند (Amirmijani et al., 2020). در پژوهشی دیگر یک فیتوپلاسمای از گروه SrVI 16 و زیرگروه A در گیاه نی لویی^۸ دارای نشانه‌های مشکوک به بیمارگرهای فیتوپلاسمایی به‌همراه یک نمونه بدون نشانه‌ها از حاشیه‌ی رود کارون و آبراهه‌های دانشگاه شهید چمران جمع‌آوری گردید. نشانه‌ها شامل لکه‌های زرد بوده که به مرور

۱- Alfalfa witches'-broom ۲- *Calendula officinalis* Phyllofoly ۳- *Candidatus phytoplasma aurantifolia*

۴- *Eucalyptus camaldulensis* Dehnh ۵- *Acacia salicina* ۶- *Melaleuca citrina* ۷- *Cascuta* sp.

۸- *Typha latifolia*



زمان به هم متصل شده و کل پهنک برگ‌ها را فرا می‌گیرد. این نشانه‌ها شبیه به زوال آخر فصل و خشک شدن گیاه بود (Azimi et al., 2018). محققان همراهی فیتوپلاسمای *Ca. ulmi Phytoplasma* را در چین روی میزبان گیاهی نی‌قلم (*australis Phragmites*) از تیره‌ی گندمیان گزارش کردند. نشانه‌ها روی گیاه مذکور شامل جاروک و ریزماندن برگ‌ها بود. در بررسی‌های فیلوژنتیکی و مقایسه‌ی الگوی چند شکلی قطعات برشی، این فیتوپلاسمای با زیرگروه SrV-B16 مرتبط شناخته شد (Marcone et al., 2018). اخیراً نیز، گیاه نی‌قمیش زیتنی (*Phragmites australis*) به‌عنوان میزبان جدید فیتوپلاسمای برگ سفیدی مرغ (*Candidatus phytoplasma cynodontis*) از استان قسیم عربستان سعودی گزارش شده است. با توجه به بررسی‌های تبارشناسی، فیتوپلاسمای همراه با گیاهان مذکور متعلق به گروه SrXIV16 و زیرگروه A بود (Duduk et al., 2018). در گیاهان برگ نو با نشانه‌های مشابه به بیماری فیتوپلاسمایی از کشور ترکیه (Çağlar et al., 201) ، کره‌ی جنوبی (Jung, 2023) و ایتالیا (Marcone et al., 2016) فیتوپلاسمایی متعلق به زیرگروه 16SrII گزارش شده است. از گیاه گل عباسی نیز چندین گزارش از آلودگی به فیتوپلاسمای در دنیا گزارش شده است. نخستین گزارش مرتبط با آلودگی گیاه لاله عباسی با نشانه‌های زردی از اسرائیل (Sobolev et al., 2007) است که عامل زردی، فیتوپلاسمای ردیابی و گزارش شده که از زیر گروه 16SrII بود. محققین نشانه‌های زردی مرتبط با فیتوپلاسمای گل عباسی متعلق به زیرگروه 16SrII را از هند گزارش نمودند (Kumar et al., 2012). در گزارشی دیگر فیتوپلاسمای آلوده‌کننده گل عباسی و گل داودی از هلند متعلق به زیرگروه 16SrI گزارش گردید (Chaturvedi et al., 2010). در یک بررسی عامل جاروک بادام‌زمینی را از روی گل عباسی ردیابی و شناسایی کردند که متعلق به زیرگروه 16SrII بود (Rao et al., 2017). از همین زیرگروه، یعنی 16SrII، فیتوپلاسمای عامل زردی گل عباسی گزارش شد (Omar & Alsohim, 2016). از گیاه کنف وحشی عوامل فیتوپلاسمایی از کشورهای هند (16SrII) (Biswas et al., 2017)، (16SrII) (Rao et al., 2020)، (16SrII) (Sardar et al., 2016)، مصر (16SrII) (Mokbel, & El-Attar, 2014)، تایوان (Tseng et al., 2014) (16SrI)، مصر (Mokbel et al., 2013) (16SrI)، هند (16SrV-) (D) (Marcone et al., 2013) و ایتالیا (Mahapatra et al., 2016) (16SrIB) گزارش شده است. با توجه به اطلاعات ما هیچ گزارشی از آلودگی گیاه سنبل ختائی به فیتوپلاسمای در دنیا گزارش نشده است.

از آنجا که شرایط قرنطینه‌ای در کشور ما کمتر رعایت می‌گردد و بر ورود و خروج مواد گیاهی به‌خصوص گیاهان زیتنی کنترل قابل توجهی وجود ندارد و به‌علاوه گلخانه‌های کشور ما هم کمتر دارای شرایط ایده‌آل برای نگهداری این گیاهان می‌باشند در نتیجه خطر وقوع و گسترش این بیماری‌های صعب‌العلاج بسیار اهمیت پیدا می‌کند. با توجه به اینکه در زمینه مطالعه عوامل بیماریزای فیتوپلاسمایی و به‌خصوص بیماری‌های فیتوپلاسمایی گیاهان زیتنی در ایران تحقیقات مدون قابل ملاحظه‌ای صورت نگرفته است، اولین قدم در این زمینه ردیابی و شناسایی این گونه عوامل بیماریزای در گیاهان زیتنی و علف‌های هرز همراه با این گیاهان بوده تا اینکه راه برای ادامه مسیر در این باره و از جمله کنترل این عوامل باز گردد. بر این اساس و به‌دلیل اهمیت کشور در پرورش و کشت گیاهان زیتنی و همچنین بروز و مشاهده نشانه‌های مشکوک به اینگونه عوامل بیماری‌زا روی گیاهان زیتنی، نمونه‌برداری مذکور جهت تشخیص و بررسی ویژگی‌های بیماری‌های (های) فیتوپلاسمایی روی گیاهان زیتنی و فضای باز انجام شد. هدف از تحقیق حاضر شناسایی عوامل بیمارگر همراه با زردی، فیلودی و کتابی شدن برخی از گیاهان زیتنی و علف‌های هرز مجاور آنها مانند کنف وحشی، برگ نو، لاله عباسی و سنبل ختائی در فضای سبز شهر یزد بود. این موضوع دارای اهمیت بالایی است



چرا که بر اساس اطلاعات ما این اولین گزارش از همراهی فیتوپلازما با گیاهان کنف وحشی، لاله عباسی، برگ نو و سنبل ختائی در ایران می‌باشد. تقریباً در تمامی مناطق مورد بازدید که بعداً با آزمایش‌های مولکولی به بیمارگرهای فیتوپلازمایی نسبت داده شدند، نشانه‌های بیماری شامل زردی، ریزبرگی، کتابی شدن شاخه‌ها و همچنین برگ‌هایی که گوشوارک در آن به‌طور غیر عادی کشیده شده شامل می‌شد (شکل ۱). در تحقیق حاضر، نتایج حاصل از آزمون PCR دو مرحله‌ای، تعیین ترادف، میزان تشابه نوکلئوتیدی و آنالیز تبارزایی، همراهی یک فیتوپلازما با اینگونه نشانه‌ها در فضای سبز شهر یزد را نشان داد (شکل ۲). احتمال آلودگی مخلوط نمونه‌ها با سایر ویروس‌های متعلق به خانواده‌های مهم ویروسی و احتمال ناشی شدن نشانه‌ها، مخصوصاً نشانه‌های زردی توسط ویروس‌ها با استفاده از آغازگرهای دژنره‌ی پوتی‌ویروس‌ها و بگوموویروس‌ها، آغازگرهای عمومی توپاموویروس‌ها و آغازگرهای اختصاصی ویروس موزاییک خیار بررسی شد که قطعه‌ای تکثیر نشد. آنالیز تبارشناسی جدایه‌های ایرانی نشان داد موقعیت جدایه‌های ایرانی در بین سایر جدایه‌ها متمایز است و این مساله احتمالاً به دلیل منشأ جغرافیایی متفاوت آن می‌باشد (Oren *et al.*, 2021). در حالت کلی جدایه‌های ایرانی بیشترین شباهت را به جدایه‌های مختلف هندی، اوگاندایی و ترکیه‌ای دارند. درخت تبارزایی نشان داد توزیع جغرافیایی جدایه‌ها با هم هم‌خوانی زیادی ندارد و قرابت فیلوژنتیکی یا هم‌گروه شدن بعضی از جدایه‌های ایرانی با جدایه‌هایی از مناطق مختلف جهان که در بعضی از شاخه‌ها دیده می‌شود هماهنگی توزیع جغرافیایی با قرابت فیلوژنتیک را بر هم می‌زند. این توزیع نشان می‌دهد که انتشار جهانی و گسترده فیتوپلازماها نمی‌تواند تنها به وسیله ناقلین طبیعی صورت گیرد و این مسئله احتمال دخالت انسان و به بیان دیگر انتشار و تجارت جهانی قلمه و نهال را تقویت می‌کند (Oren *et al.*, 2021). نکته دیگری که بایستی در مورد تنوع جدایه‌های ایرانی بیان کرد این است که این احتمال وجود دارد که جدایه‌های فیتوپلازمایی موجود در فضای سبز شهر یزد بیش از یک‌بار به طرق مختلف به مناطق مختلف ایران وارد شده است.

نتیجه‌گیری

برای نتیجه‌گیری بهتر تعیین ترادف چندین جدایه از مناطق مختلف کشور و از روی گیاهان دیگر نیز ضروری به نظر می‌رسد. این موضوع می‌تواند تهدید جدی برای سایر استان‌های هم‌جوار و حتی سایر محصولات کشاورزی در این مناطق باشد. با توجه به گسترش فیتوپلازما روی گیاهان مختلف در ایران، پیش‌بینی می‌شود که این عامل بیماری‌زا ناقل یا ناقلین حشره‌ای موثر در منطقه نیز داشته‌اند. در همین راستا مطالعه روی ناقلین و ارائه روش‌های مناسب برای مقابله با این بیماری از اهمیت بالایی برخوردار است (Tan *et al.*, 2021). همچنین، در مناطق مورد بررسی امکان حضور سایر فیتوپلازماهای مربوط به گروه‌های مختلف بر روی محصولات مختلف ضروری به نظر می‌رسد، که نیازمند تحقیقات بیشتر برای دستیابی به این مهم می‌باشد تا با تخمین پراکنش فیتوپلازماها بر روی محصولات مختلف اقدامات لازم جهت کاهش خسارت برنامه‌ریزی گردد.

منابع

- Ashnaei, M., Jamshidi, E. (2016, August). First report of association of a 16SrVI phytoplasma with pot marigold phyllody in Khorasan Razavi province. In *Iranian Plant Protection Congress* (pp. 27-30).
- Amirmijani, A. R., Salari, M. R., Amirmijani, A., Khoshsohbat, M. S., Azadvar, M. (2020). First Report of Association of a 'Candidatus Phytoplasma aurantifolia' 16SrII-D Related Phytoplasma with Geranium (*Pelargonium hortorum*) Little Leaf Disease in Iran. *Plant Disease*, 104(10), 2723. <https://doi.org/10.1094/PDIS-03-20-0561-PDN>



- Aldaghi, M., Bertaccini, A. (2015). Preliminary study on some ornamental plant phytoplasma diseases in north of Iran. *Phytopathogenic Mollicutes*, 5(1s), S67-S68. <http://dx.doi.org/10.5958/2249-4677.2015.00028.6>.
- Azimi, M., Mehrabi-Koushki, M., Farokhinejad, R. (2018). Association of two groups of phytoplasma with various symptoms in some wooden and herbaceous plants. *Journal of Phytopathology*, 166(4), 273-282. <https://doi.org/10.1111/jph.12684>.
- Amirmijani, A. R., Salari, M. R., Amirmijani, A., Khoshsohbat, M. S., Azadvar, M. (2020). First Report of Association of a 'Candidatus Phytoplasma aurantifolia' 16SrII-D Related Phytoplasma with Geranium (Pelargonium hortorum) Little Leaf Disease in Iran. *Plant Disease*, 104(10), 2723. <https://doi.org/10.1094/PDIS-03-20-0561-PDN>.
- Babaie, G., Khatabi, B., Bayat, H., Rastgou, M., Hosseini, A., Salekdeh, G. H. (2007). Detection and characterization of phytoplasmas infecting ornamental and weed plants in Iran. *Journal of Phytopathology*, 155(6), 368-372. <https://doi.org/10.1111/j.1439-0434.2007.01247.x>.
- Bertaccini, A., Arocha-Rosete, Y., Contaldo, N., Duduk, B., Fiore, N., Montano, H. G., Zamorano, A. (2022). Revision of the 'Candidatus Phytoplasma' species description guidelines. *International Journal of Systematic and Evolutionary Microbiology*, 72(4), 005353. <https://doi.org/10.1099/ijsem.0.005353>.
- Biswas, C., Dey, P., Satpathy, S. (2014). First report on molecular detection of a stolbur phytoplasma (Group16SrXII-A) associated with kenaf (*Hibiscus cannabinus* L.) in India. *Archives of Phytopathology and Plant Protection*, 47(14), 1746-1751. <https://doi.org/10.1080/03235408.2013.856549>
- Çağlar, B. K., Pehlivan, S., Atakan, E., Elbeaino, T. (2021). Maize (*Zea mays* L.): A New Host for Ligustrum witches' Broom Phytoplasma. *Pathogens*, 10(6), 723. <https://doi.org/10.3390/pathogens10060723>
- Chaturvedi, Y., Rao, G., Tiwari, A., Duduk, B., Bertaccini, A. (2010). Phytoplasma on ornamentals: detection, diversity and management. *Acta Phytopathologica et Entomologica Hungarica*, 45(1), 31-69. <https://doi.org/10.1556/aphyt.45.2010.1.3>.
- Duduk, B., Stepanović, J., Yadav, A., Rao, G. P. (2018). Phytoplasmas in weeds and wild plants. *Phytoplasmas: Plant Pathogenic Bacteria-I: Characterisation and Epidemiology of Phytoplasma-Associated Diseases*, 313-345. https://doi.org/10.1007/978-981-13-0119-3_11.
- Esmailzadeh Hosseini, S. A., Salehi, M., Khanchezar, A., Shamszadeh, M. (2011). The first report of a phytoplasma associated with pot marigold phyllody in Iran. *Bulletin of Insectology*, 64(Supplement), S109-S110.
- Gibbs, A., Mackenzie, A. (1997). A primer pair for amplifying part of the genome of all potyvirids by RT-PCR. *Journal of Virological Methods*, 63(1-2), 9-16. doi:10.1016/S0166-0934(96)02103-9. <https://doi.org/10.1111/jph.12838>.
- Gholami, J., Ranjbar, R., Bahar, M., Choupannejad, R., Saed Moucheshi, S. (2018). Molecular detection and characterization of a stolbur phytoplasma associated with *Narcissus tazetta* phyllody in Iran. *Journal of Phytopathology*, 166(5), 372-377. <https://doi.org/10.1111/jph.12697>
- Hemmati, C., Nikooei, M., Bertaccini, A. (2019). Identification, occurrence, incidence and transmission of phytoplasma associated with *Petunia violacea* witches' broom in Iran. *Journal of Phytopathology*, 167(10), 547-552. <https://doi.org/10.1111/jph.12838>
- Hugenholtz, P., Chuvochina, M., Oren, A., Parks, D. H., Soo, R. M. (2021). Prokaryotic taxonomy and nomenclature in the age of big sequence data. *the ISME Journal*, 15(7), 1879-1892. <https://doi.org/10.1038/s41396-021-00941-x>.
- Jung, H. Y. (2023). Phytoplasma diseases in Korea. In *Diversity, Distribution, and Current Status* (pp. 233-248). Academic Press. <https://doi.org/10.1016/B978-0-323-91896-1.00010-6>.
- Kumar, S., Singh, V., Lakhanpaul, S. (2012). First report of Mirabilis and Chrysanthemum little leaf associated with 'Candidatus Phytoplasma aurantifolia' in India. *Australasian Plant Disease Notes*, 7, 71-73. <https://doi.org/10.1007/s13314-012-0051-0>
- Mahapatra, B. S. Chinmay Biswas, Piyali Dey, Subrata Satpathy, Manoj Kumar, Pratik Satya. Bertaccini, A. (2018). Bertaccini, Phytoplasma diseases of medicinal and aromatic plants. *Journal of Plant Pathology*, 379-404. <https://www.jstor.org/stable/44280481>



- Marcone, C., Franco-Lara, L., Toševski, I. (2018). Major phytoplasma diseases of forest and urban trees. *Phytoplasmas: Plant pathogenic bacteria-I: Characterisation and epidemiology of phytoplasma-associated diseases*, 287-312. https://doi.org/10.1007/978-981-13-0119-3_10.
- Marcone, C., Bellardi, M. G., Bertaccini, A. (2016). Phytoplasma diseases of medicinal and aromatic plants. *Journal of Plant Pathology*, 379-404.
- Mitrović, M., Marinković, S., Cvrković, T., Jović, J., Krstić, O., Jakovljević, M. (2022). Framework for risk assessment of 'Candidatus Phytoplasma solani' associated diseases outbreaks in agroecosystems in Serbia. *Journal of Plant Pathology*, 104(2), 537-552. <https://doi.org/10.1007/s42161-022-01055-9>.
- Mokbel, S. A., El-Attar, A. K. (2014). Effect of gamma irradiation on production of phytoplasma-free Hibiscus plantlets. *Egyptian J. Virol*, 11(2), 35-45. <https://doi.org/10.1111/aab.12810>
- Mokbel, S. A., El Attar, A. K., Farag, A. G. (2013). Detection and molecular characterization of phytoplasma associated with Hibiscus Witches'-Broom in Egypt. *Egyptian Journal of Virology*, 10, 162-171. <https://doi.org/10.1099/ijsem.0.005056>.
- Movahedi-Parizi, F., Hosseini-pour, A., Azadvar, M., Massumi, H. (2023). Molecular detection and identification of phytoplasmas associated with *Catharanthus roseus*, *Pinus eldarica*, and *Petunia hybrida* in southeastern Iran's urban green spaces. *Annals of Applied Biology*, 182(2), 205-215. <https://doi.org/10.1111/aab.12810>.
- Nikooei, M., Hemmati, C., Bagheri, A. (2017). Association of 'Candidatus Phytoplasma aurantifolia' with *Cosmos bipinnatus* phyllody disease in Iran. *Journal of plant protection research*. DOI: 10.1515/jppr-2017-0037
- Omar, A. F., Alsohim, A. S. (2016). Identification of new plant hosts of 16SrII group phytoplasmas in Saudi Arabia. *Phytopathogenic Mollicutes*, 6(2), 71-76. <http://dx.doi.org/10.5958/2249-4677.2016.00017.7>.
- Oren, A., Garrity, G. M. (2021). Valid publication of the names of forty-two phyla of prokaryotes. *International Journal of Systematic and Evolutionary Microbiology*, 71(10), 005056. <https://doi.org/10.1099/ijsem.0.005056>.
- Raj, S. K., Snehi, S. K., Kumar, S., Khan, M. S. (2009). First molecular detection and identification of a potyvirus associated with severe mosaic disease of amaryllis (*Hippeastrum hybridum* Hort.) in India. *Australasian Plant Disease Notes*, 4(1), 50-53. <https://doi.org/10.1071/DN09021>
- Rizos, H., Gunn, L. V., Pares, R. D., Gillings, M. R. (1992). Differentiation of cucumber mosaic virus isolates using the polymerase chain reaction. *Journal of General Virology*, 73(8), 2099-2103. doi:10.1099/0022-1317-73-8-2099
- Rojas, M. R., Gilbertson, R. L., Russell, D. R., Maxwell, D. P. (1993). Use of degenerate primers in the polymerase chain reaction to detect whitefly transmitted geminiviruses. *Plant Disease*, 77(4), 340-347. doi:10.1094/pd-77-0340
- Rao, G. P., Reddy, M. G., Ravi, M., Bahadur, A., Bertaccini, A. (2020). Confirmation of the association of an aster yellows phytoplasma with flat stem and witches' broom disease of *Hibiscus cannabinus* in the North East Region of India. *Phytopathogenic Mollicutes*, 10(2), 152-157. <http://dx.doi.org/http://dx.doi.org/10.5958/2249-4677.2020.00019.5>.
- Rao, G. P. (2017). Phytoplasma diseases of ornamental plants: an Indian overview. *Journal of Ornamental Horticulture*, 20(3and4), 87-102. <http://dx.doi.org/10.5958/2249-880X.2017.00001.9>.
- Sardar, K. K., Bibekananda, B., Mitali, S., Safik, M. (2006). Yellow crown of mesta (*Hibiscus cannabinus* L.)-a new phytoplasma disease in India. *Journal of Mycology and Plant Pathology*, 36(1), 38-39. CABI Record Number: 20073007297.
- Sobolev, I., Weintraub, P. G., Gera, A., Tam, Y., Spiegel, S. (2007). Phytoplasma infection in the four o'clock flower (*Mirabilis jalapa*). *Bulletin of Insectology*, 60(2), 281. <http://dx.doi.org/http://dx.doi.org/10.5958/2249-4677.2020.00019.5>.
- Tan, Y., Li, Q., Zhao, Y., Wei, H., Wang, J., Baker, C. J., Wei, W. (2021). Integration of metabolomics and existing omics data reveals new insights into phytoplasma-induced metabolic reprogramming in host plants. *PLoS One*, 16(2), e0246203. <https://doi.org/10.1371/journal.pone.0246203>.



- Tazehkand, S. A., Pour, A. H., Heydarnejad, J., Varsani, A., Massumi, H. (2010). Identification of phytoplasmas associated with cultivated and ornamental plants in Kerman province, Iran. *Journal of Phytopathology*, 158(11-12), 713-720. <https://doi.org/10.1111/j.1439-0434.2010.01682.x>.
- Tseng, Y. W., Chang, C. J., Chen, J. W., Deng, W. L., Jan, F. J. (2014). First report of a 16SrI group phytoplasma associated with roselle (*Hibiscus sabdariffa*) wrinkled leaves and phyllody disorder in Taiwan. *Plant Disease*, 98(7), 991-991. <https://doi.org/10.1094/PDIS-12-13-1256-PDN>.





The first report on the detection and identification of phytoplasma pathogens associated with some ornamental plants of Yazd city

M. Salehzadeh^{1*}, A. Afsharifar¹, S. Dehghanpour Farashah²

1. Plant Virology Research Center, School of Agriculture, Shiraz University, Shiraz, Iran.

2. Agriculture Department, Payame Noor University, Tehran, Iran.

✉ Mehrdadsalehzadeh@gmail.com

Received: 2023/12/23, Revised: 2024/03/02, Accepted: 2024/03/02

Abstract

In spring and summer 2023, a survey of plant samples from green spaces and ornamental greenhouses, along with adjacent weeds in Yazd City, showed symptoms likely linked to phytoplasma disease. Notable symptoms included stem flattening, phyllody, and yellowing observed in *Angelica archangelica*, *Ligustrum* sp., *Mirabilis jalapa*, and *Hibiscus cannabinus*. Five samples from each plant were sent to the Plant Virology Research Center at Shiraz University for DNA extraction via the CTAB method. Polymerase chain reaction (PCR) was conducted using general primers (P1/P7) and nested primers (R16MF2/R16MR2) specific for phytoplasma. As expected, fragments of 1800 bp and 1250 bp were amplified with the general and nested primers, respectively. These fragments were excised from the gel, purified, and sent to Sinohe Company for sequencing. Comparison of the sequences with those in the NCBI database using BLAST showed that the phytoplasmas from *Angelica archangelica*, *Ligustrum* sp., *Mirabilis jalapa*, and *Hibiscus cannabinus* were closely related to Indian (MH393563.1; host: *Datura stramonium*; identity: 98.94%), Turkish (HE649495.1; host: *Ligustrum* sp.; identity: 99.24%), Ugandan (HE649495.1; host: *Hibiscus rosae*; identity: 99.14%), and Iranian (KX685880.1; host: *Eucalyptus* sp.; identity: 98.64%) isolates. A phylogenetic tree was created to compare Iranian isolates with similar global isolates using MEGA 8.0 software.

Keywords: Phylogenetic analysis, Ornamental plants, Yellowing, Phyllody.